

(19) (KR)  
(12) (A)

(51) . Int. Cl. 7  
H01L 33/00  
H05B 33/00

(11)  
(43)

10-2005-0001426  
2005 01 06

(21) 10-2004-0047832  
(22) 2004 06 24

(30) 10/606,446 2003 06 26 (US)

(71) 343

(72) 14526 8

14617 54

14580 63

14617 389

(74)

(54)

1  
 2  
 3 - (super rubrene) , (OLED)  
 4 - 2 (sublayer) , OLED  
 5 - , OLED  
 6 - , OLED  
 7 - 2 , OLED  
 8 - 가 - , OLED  
 9 LED 2 가 가 - , O  
 10 - 가 - , OLED  
 11 LED - 가 - , O  
 12 - 2 가 가 - ,  
       OLED

OLED (substrate), , OLED , , (full-col  
 or) ,885,211 OLED 가 (Tang) 4,769,292 4  
 , OLED (paper-thin) , LCD , OLED ,  
       (0.33, 0.33) CIE 가  
       , OLED

OLED	가 (host) 가 (Sato)	(	5,683,823 0.12% 0.25% 7,142,169	,
,	,	,	,	,
OLED	OLED	(Kido)	[Science, Vol. 267, p. 1332 (1995)]	APL Vol. 64,
p. 815 (1994)]	,	,	,	,
,	3	,	,	(Littman)
5,405,709	-	,	(Deshpande)	가
Physics Letters, Vol. 75, p. 888 (1999)]	OLED	,	[Applied	

OLED 가  
30% OLED  
가 , R, G, B

- a) ;

b) - ;

c) - , - - - ( );

d) - - - ;

e) - ,

f) - - - - - ( )가 (OLED)

# OLED

OLED , (on chip) (OCCF)



EL

EL

, (R, G, B) OLED  
 R, G, B ( ), ), R, G, B ( :  
 ), R, G, B ( :  
 R, G, B 가

가	가	가	
(Ching)	5,550,066	5,684,365	TFT
(	가	가	3
가	3	3	)
)		( :	3가
			(Klupfel)
		/	
		3,567,450	3,658,520
3		4,720,432	5,061,569
3		1	
3		3	가

## [ 1 ]

1,1-비스(4-다이- <i>p</i> -톨릴아미노페닐)사이클로헥세인
1,1-비스(4-다이- <i>p</i> -톨릴아미노페닐)-4-페닐사이클로헥세인
4,4'-비스(다이페닐아미노)쿼드리페닐
비스(4-다이메틸아미노-2-메틸페닐)-페닐메테인
N,N,N-트라이( <i>p</i> -톨릴)아민
4-(다이- <i>p</i> -톨릴아미노)-4'-(4-(다이- <i>p</i> -톨릴아미노)-스타이릴]스틸벤
N,N,N',N'-테트라- <i>p</i> -톨릴-4,4'-다이아미노비페닐
N,N,N',N'-테트라페닐-4,4'-다이아미노비페닐
N,N,N',N'-테트라-1-나프틸-4,4'-다이아미노비페닐
N,N,N',N'-테트라-2-나프틸-4,4'-다이아미노비페닐
N-페닐카비졸
4,4'-비스[N-(1-나프틸)-N-페닐아미노]비페닐(NPB)
4,4'-비스[N-(1-나프틸)-N-(2-나프틸)아미노]비페닐(TNB)
4,4"-비스[N-(1-나프틸)-N-페닐아미노]- <i>p</i> -터페닐
4,4'-비스[N-(2-나프틸)-N-페닐아미노]비페닐
4,4'-비스[N-(3-아세나프텐일)-N-페닐아미노]비페닐
1,5-비스[N-(1-나프틸)-N-페닐아미노]나프탈렌
4,4'-비스[N-(9-안트릴)-N-페닐아미노]비페닐
4,4"-비스[N-(1-안트릴)-N-페닐아미노]- <i>p</i> -터페닐
4,4'-비스[N-(2-페난트릴)-N-페닐아미노]비페닐
4,4'-비스[N-(8-플루오르안테닐)-N-페닐아미노]비페닐
4,4'-비스[N-(2-페렌일)-N-페닐아미노]비페닐
4,4'-비스[N-(2-나프타세닐)-N-페닐아미노]비페닐
4,4'-비스[N-(2-페닐렌일)-N-페닐아미노]비페닐
4,4'-비스[N-(1-코로넨일)-N-페닐아미노]비페닐
2,6-비스(다이- <i>p</i> -톨릴아미노)나프탈렌
2,6-비스[다이-(1-나프틸)아미노]나프탈렌
2,6-비스[N-(1-나프틸)-N-(2-나프틸)아미노]나프탈렌
N,N,N',N'-테트라(2-나프틸)-4,4"-다이아미노- <i>p</i> -터페닐
4,4'-비스{N-페닐-N-[4-(1-나프틸)-페닐]아미노}비페닐
4,4'-비스[N-페닐-N-(2-페렌일)아미노]비페닐
2,6-비스[N,N-다이(2-나프틸)아민]플루오렌
1,5-비스[N-(1-나프틸)-N-페닐아미노]나프탈렌
4,4',4"-트리스[(3-메틸페닐)페닐아미노]트라이페닐아민(MTDATA)
4,4'-비스[N-(3-메틸페닐)-N-페닐아미노]비페닐(TPD)

1 009 041

3

(N-  
(3,4-)(PVK),  
) / (4- ))OLED 4,885,211  
( 8- 8- ) (8- ) (III) (III)

[ , (8- ) (III) ]

[ , (8- ) (II) ]

[ {f} - 8- ] (II)

(2- - 8- ) (III) - μ - - (2- - 8- ) (III)

[ , (8- ) ]

(5- ) [ , (5- - 8- ) (III) ]

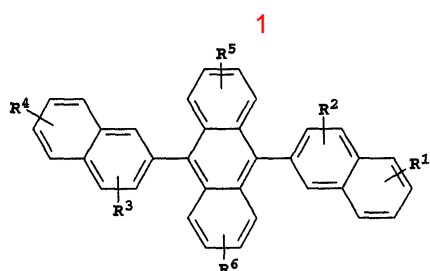
[ , (8- ) (I)]  
 [ , (8- ) (III)]  
 [ , (8- ) (IV)].

, 4,356,429 , 4,539  
 ,507

BAIq 5,141,6  
 71 (Rs-8-  
 ) ( ) (II) BAIq ( , Rs 8- , Rs 8-  
 8- , O-L , L 6 24  
 ) (T. Watanabe [Proceedings of SPIE Vol. 4105 (2001), p. 175-182]  
 가 , (1,1'- )-4- ) (2- -8- N1,O8)

E  
 L , EL  
 EL 4,769,292 Alq

5,935,721 9,10- -(2- ) (ADN)  
 OLED  
 9,10- -(2- ) (1)  
 , 400nm , , ,



R 1 , R 2 , R 3 , R 4 , R 5 , R 6

:

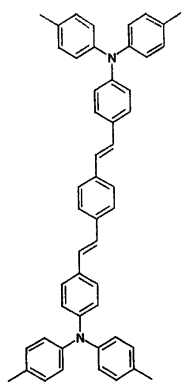
1 : , 1 24 ;

2 : 5 20 ;

3 : , , , , 4 24 ;

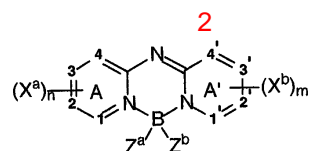
4 : , , , , , 5 24

5 : 1 24 ;  
 6 : , , ;  
 9,10- -(2- ) (ADN) 2-3 - - 9,10- (2- ) (TBADN) 가  
 5,927,247 . 5,121,029 08333569  
 LEL . , 9,10- [4-(2,2- )] ;  
 4,4'- (2,2- ) - 1,1'- (DPVBi) ;  
 2,5,8,11- -3 - , (TBP) ; ; B-1( ;  
 5,121,029 ;



B-1

2



A A'

6 ;

X^a X^b ;

A A'

m n 0 4 ;

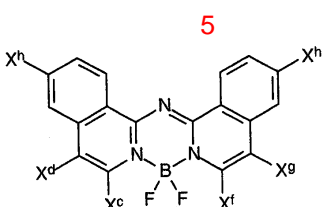
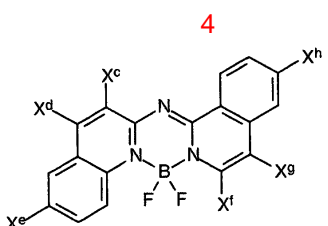
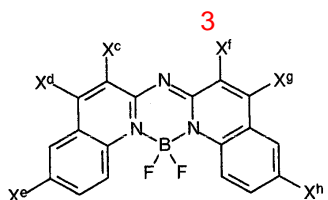
Z^a Z^b ;

1, 2, 3, 4, 1', 2', 3' 4'

, 1, 2, 3, 4, 1', 2', 3' 4' , m n 2 , X^a X^b 가 , Z^a Z^b

2 ;

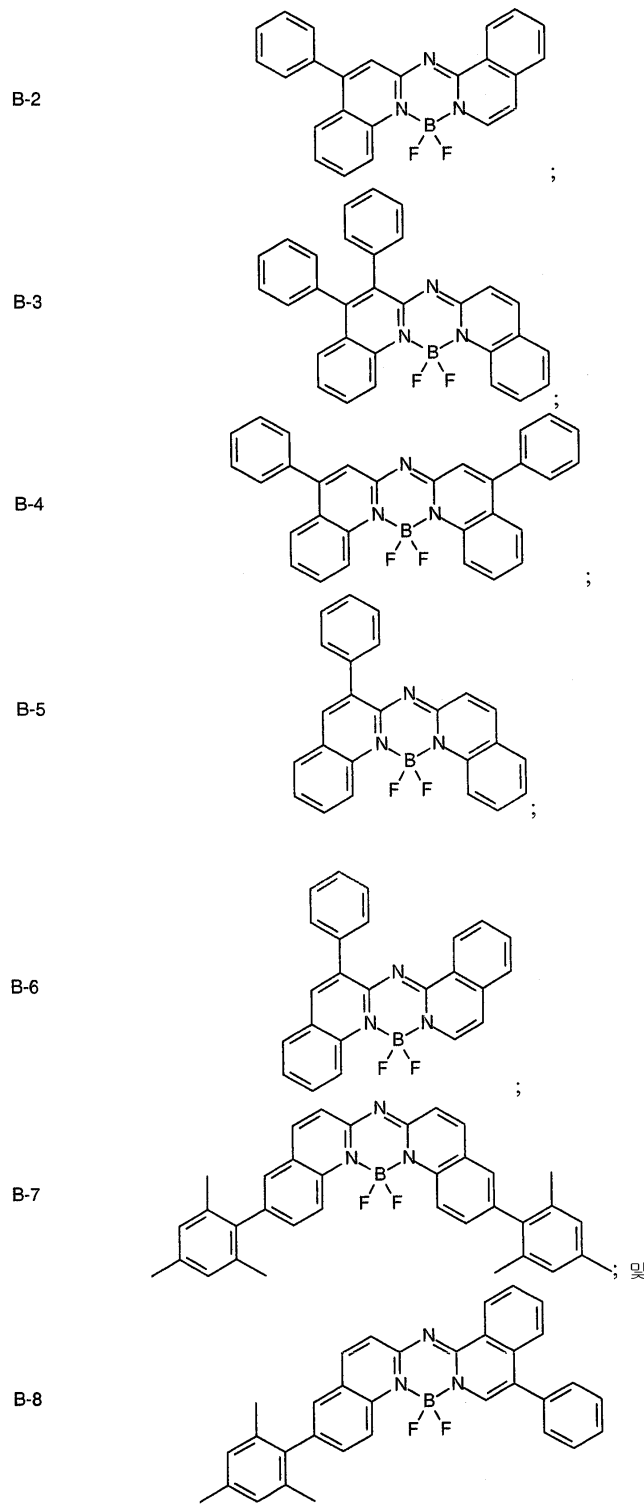
가 ; 6-6  
1-2, 3-4, 1'-2' 3'-4'  
; 가 3, 4 5 ); :  
X<sup>a</sup> 2 X<sup>b</sup> 가 ( 가

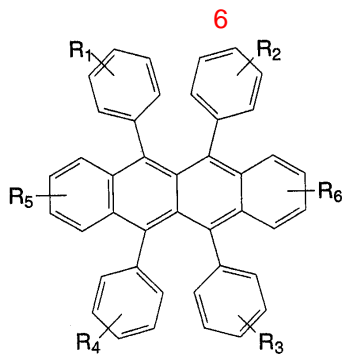


$$X^c, X^d, X^e, X^f, X^g, \quad X^h \quad , \quad$$

1, 2, 3, 4, 1', 2', 3' 4' 가 ; m n 2 ; X<sup>a</sup> X<sup>b</sup> 가  
 . , Z<sup>a</sup> Z<sup>b</sup> .

, ( ) ( ,  
6,6 ) , : ,





R<sub>1</sub>, R<sub>2</sub>, R<sub>3</sub> R<sub>4</sub>

1 : , 1 24 ;

2 : 5 20 ;

3 : , , , , , ; 4  
24 ;

4 : , , , , , , 5 24 ;

5 : 1 24 ;

6 : , , .

R<sub>5</sub> R<sub>6</sub>

R<sub>1</sub> R<sub>4</sub>

, R<sub>1</sub> R<sub>4</sub>  
4 .

. R<sup>1</sup> R<sup>4</sup>

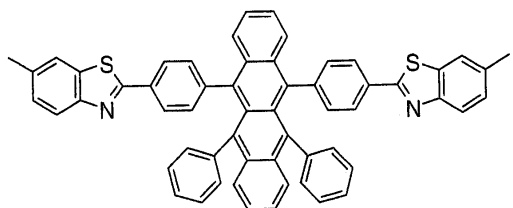
3

-2- ) ) 5,6,11,12-  
(DBzR); 5,6,11,12- (2- ) ( ); 6,11- (NR) -5,12- (4-(6- -

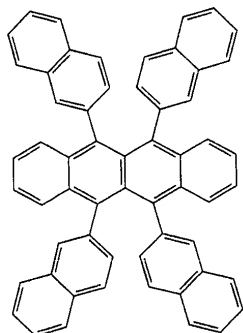
( )



(DBzR)



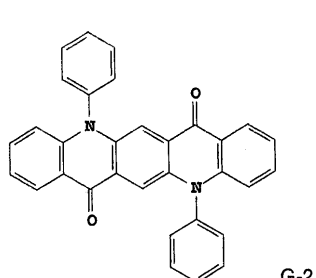
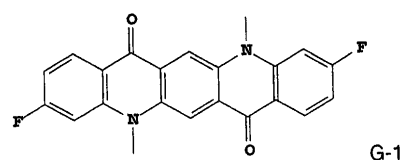
(NR)



4,769,292

6,020,078  
C545T    C545TB  
5,593,788

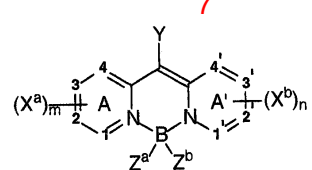
09-13026A



7

7

7



A A'

6-

A A'

X a X b

;

m n 0 4 ;

Y H ;

Z a Z b ;

1, 2, 3, 4, 1', 2', 3' 4'

, 1, 2, 3, 4, 1', 2', 3' 4'  
A A'

X a X b 가

Z b 가

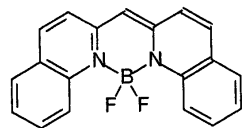
Z a

Z a Z b 가 F

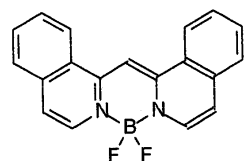
Y

, ( )

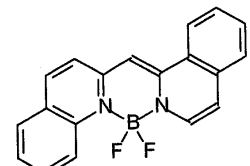
G-3



G-4



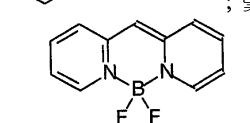
G-5



G-6



G-7

가  
( )

3 14

OLED

가

3 (320), (370) (300) (300)가 (320)가 (310) (330),  
 B-1 (360) NPB, Alq BAiq (340) (350) TBADN

4	-	2	(400)가	,	(441)	(442)	NPB	3	-	(4)
50)	(441)	-	(460)	(470)	.	.	(400)	(410),	(420),	-
5	-	(500)	.	.	.	2	(561), 562)	.	.	-
(561)	-	,	B-1	,	NPB, Alq	BAlq	(562)	(540)	(570)	.
(550)	TBADN	.	(510),	.	(520),	.	(530),	.	.	.
(500)	.	.	.	.	.	.	.	.	.	.
6	(300)	(500)	.	.	2	(600)가	.	.	(640)	
.	.	.	.	.	(650)	TBADN	,	B-1	(661)	
.	.	.	.	.	(600)	.	(610),	.	(620),	BAlq
(662)	.	(670)	.	.	.	.	.	.	(630),	.
7	-	2	(700)	,	(741), 742)	(742)	NPB	6	,	
(750)	(741)	-	(761)	-	(750)	,	2	,	(761), 762)	
.	.	.	.	.	(700)	.	.	.	.	.
730)	(762)	.	(770)	.	.	.	(710),	(720),	.	(
8	-	2	(861), 862)	.	(861)	C545T, CFDMQA	3	DPQA	.	
.	(800)가	.	.	.	(850)	.	.	(862)	.	
,	(861)	.	.	.	,	B-1	,	NPB, Alq	BAlq	
.	.	(850)	,	TBADN	.	.	.	.	.	
,	.	.	.	(840)	.	.	.	.	.	
,	(820),	.	(830)	.	(870)	.	.	.	.	(810)
9	-	2	(941), 942)	.	(942)	NPB	8	.	.	
.	(900)	.	.	.	.	.	2	.	.	
(950)	(941)	.	.	.	,	C545T, CFDMQA	DPQA	.	.	
.	(961)	.	.	.	(950)	.	.	.	.	
DN	Alq	.	.	.	(962)	.	.	.	.	
,	B-1	.	.	.	,	.	.	.	.	
(910),	,	NPB, Alq	.	BAlq	.	.	.	.	.	
.	(920),	.	.	.	(930)	.	.	.	.	
.	.	.	.	.	(970)	.	.	.	.	
10	-	(1000)	.	.	,	.	3	.	(1061), 1062, 1063)	
.	(1061)	.	.	.	,	.	.	.	(1050)	
063)	(1062)	C545T, CFDMQA	.	DPQA	.	.	.	.	.	(1
q	.	.	.	.	(1050)	TBADN	,	B-1	.	
.	.	.	.	.	(1000)	.	.	,	NPB, Alq	BAI
.	(1030),	.	(1040)	.	(1070)	.	.	.	.	.
11	-	(1100)가	.	.	,	.	3	.	(1161), 1162, 11	
63)	.	(1161)	.	.	,	.	.	.	(1150)	
.	(1162)	C545T, CFDMQA	.	DPQA	.	.	.	.	.	
.	(1163)	.	.	.	(1150)	TBADN	,	B-1	.	
BAIq	.	.	.	.	.	.	.	,	NPB, Alq	.
.	.	.	.	.	(1140)	.	.	.	.	
.	.	.	.	.	.	.	.	.	.	
12	-	(1200)	.	.	,	.	3	.	(1261), 1262, 1263)	
.	(1261)	.	.	.	,	.	.	.	(1250)	
263)	(1262)	C545T, CFDMQA	.	DPQA	.	.	.	.	.	(1
q	.	.	.	.	(1250)	TBADN	,	B-1	.	
.	.	.	.	.	.	.	.	,	NPB, Alq	BAI
.	.	.	.	.	(1241), 1242)	.	.	.	.	.

(1241) NPB . - (1242) - (1250)  
 - . (1200) (1210), (1220), - (1230)  
 (1170) .

가

2 1 6 Alq

OLED

80nm ITO

nm

1

, CHF 3

1

2% DBzR 150nm NPB (HTL), 2% TBP TBADN  
 20nm (LEL), Alq (ETL) 200nm MgAg  
 , 3 OLED(3000) 1 . OLED

[ 2 ]

청색 방출 층 내로 Alq가 도핑된 백색 방출 OLED 장치 성능

장치 번호	황색 도판트로 도핑된 정공 수송 층	청색 방출 층 호스트 (TBADN)	청색 층 도판트 (TBP)	청색 층 도판트 (Alq)	전자 수송 층 두께	발광 발생량 (cd/A)	CIE_x	CIE_y	구동 전압 (볼트)	작동 안정성, T70 (30% 발광 감소에 걸리는 시간)
1	150nm+2.0% DBzR	20nm TBADN	2% TBP	0% Alq	35nm	5.44	0.34	0.34	8.4	620
2	150nm+2.0% DBzR	20nm TBADN	2% TBP	1% Alq	35nm	5.50	0.39	0.41	8.3	720
3	150nm+2.0% DBzR	20nm TBADN	2% TBP	2.5% Alq	35nm	5.60	0.41	0.43	8.3	800
4	150nm+2.0% DBzR	20nm TBADN	2% TBP	5% Alq	35nm	5.60	0.45	0.45	8.5	850
5	150nm+2.0% DBzR	20nm TBADN	2% TBP	10% Alq	35nm	5.60	0.45	0.46	8.4	900
6	150nm+2.0% DBzR	20nm TBADN	2% TBP	25% Alq	35nm	5.80	0.48	0.49	8.4	980

8158

170

OLED

3 OLED(300)  
1 25% Alq  
가 ( 2.5% Alq  
, 2. 6 , 20nm(TBADN+2% TBP)  
. . 2 6  
가 ). 1 (0.34, 0.34) CIEx,y  
3 (0.41, 0.43) CIEx,y  
.

NPB Alq

. OLED 20mA/cm<sup>2</sup>

## OLED

3	7	10	OLED	Alq	NPB					
	7				: 150nm NPB HTL/					20nm
ADN	+2% TBP	/25nm Alq ETL/200nm MgAg			3.35cd/A					, 6.3
	CIEx,y=0.16, 0.23		8		TBP					
	10% NPB		7							4.18cd/A
, 6.2		CIEx,y=0.16, 0.23			8					7
	9		TBP			10% Alq				
	7				3.6cd/A					CIEx,y=0.23, 0.36
	7					TBP				
10% NPB	10% Alq				7					7
0		4.8cd/A		CIEx,y=0.20, 025						10
BP	7, 8	9			7					
	Alq	NPB	가							
	10									
			OLED							

## [ 3 ]

청색 방출 층이 도판트 NPB 및 BA1q로 도핑된 청색 방출 OLED의 EL 특성

장치 번호	정공 수송 층 (도핑되지 않은 NPB 층 두께)	청색 방출 층 호스트 (ADN)	청색 층 도판트 1	청색 층 도판트 2	청색 층 도판트 3	전자 수송 층 두께	발광 발생량 (cd/A)	CIE_x	CIE_y	구동 전압 (볼트)
7	150nm	20nm ADN	2% TBP	0% NPB	0% Alq	25nm	3.35	0.16	0.23	6.3
8	150nm	20nm ADN	2% TBP	10% NPB	0% Alq	25nm	4.18	0.16	0.23	6.2
9	150nm	20nm ADN	2% TBP	0% NPB	10% Alq	25nm	3.60	0.23	0.36	6.0
10	150nm	20nm ADN	2% TBP	10% NPB	10% Alq	25nm	4.80	0.20	0.25	6.4

11 15( 4): 4 NPB BA1q  
, BA1q

130nm NPB - (HTL), 2%  
( B-1) 10% NPB 20nm NPB HTL, 5% OP31  
, 35nm Alq - (ETL) TBADN 15nm - (LEL)  
OLED(300) 0.5nm LiF/200nm , 3  
11 OLED

[ 4 ]

청색 방출 층이 청색 도판트 및 다른 도판트인 NPB 또는 BA1q로 도핑된 백색 OLED의 EI 특성

장치 번호	정공 수송 부속총 1 (도핑되지 않은 NPB 총 두께)	황색 도판트로 도핑된 정공 수송 부속총 2	청색 방출 총 호스트 (TBADN)	청색 방출 총 도판트 1	청색 방출 총 도판트 2	청색 방출 총 도판트 3	전자 수송 총	발광 발생량 (cd/A)	CIE <sub>x</sub>	CIE <sub>y</sub>	구동 전압	작동 안정성
11	130nm	20nm NPB+ 3.5% 루브렌	15nm TBADN	5% OP31	NPB 10%	0%	25nm Alq	7.8	0.26	0.37	5.3	132
12	130nm	20nm NPB+ 3.5% 루브렌	15nm TBADN	5% OP31	NPB 10%	1% BA1q	25nm Alq	8.2	0.31	0.40	5.5	N.A.
13	130nm	20nm NPB+ 3.5% 루브렌	15nm TBADN	5% OP31	NPB 10%	3% BA1q	25nm Alq	8.3	0.31	0.41	5.5	139
14	130nm	20nm NPB+ 3.5% 루브렌	15nm TBADN	5% OP31	NPB 10%	5% BA1q	25nm Alq	8.4	0.32	0.41	5.5	N.A.
15	130nm	20nm NPB+ 3.5% 루브렌	15nm TBADN	5% OP31	NPB 10%	10% BA1q	25nm Alq	8.7	0.33	0.42	5.6	164

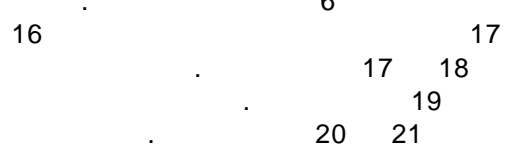
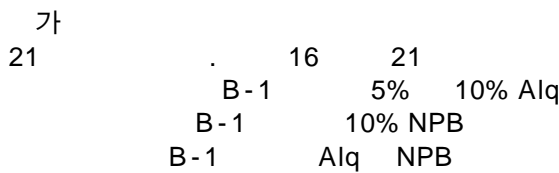
[ 5 ]

청색 방출 층이 청색 도판트 및 다른 도판트인 NPB 또는 BA1q로 도핑된, 칼라 필터

### 후의 백색 OLED의 R, G, B 특징

장치 번호	칼라 필터 후의 적색			칼라 필터 후의 녹색			칼라 필터 후의 청색			예측 동력(와트)(2.2" 디스플레이의 페널 발광 $80\text{cd}/\text{m}^2$ , 0.44 편광 투과율 및 0.42 천공 비)
	발광 발생량 (cd/A)	CIEx	CIEy	발광 발생량 (cd/A)	CIEx	CIEy	발광 발생량 (cd/A)	CIEx	CIEy	
11	1.20	0.57	0.36	5.16	0.25	0.54	1.96	0.11	0.22	1.95
12	1.55	0.59	0.36	5.31	0.29	0.55	1.63	0.12	0.23	1.78
13	1.55	0.59	0.36	5.43	0.29	0.55	1.68	0.12	0.24	1.78
14	1.61	0.59	0.36	5.60	0.29	0.55	1.71	0.11	0.24	1.75
15	1.75	0.60	0.36	5.72	0.31	0.55	1.63	0.12	0.25	1.75

3 OLED(300), 85nm ITO, 0.5nm CF, 16, 21, 16, 130nm  
 NPB, 2% DBzR, 20nm NPB, TBADN, 2.5%, B1  
 20nm EML, 25nm Alq

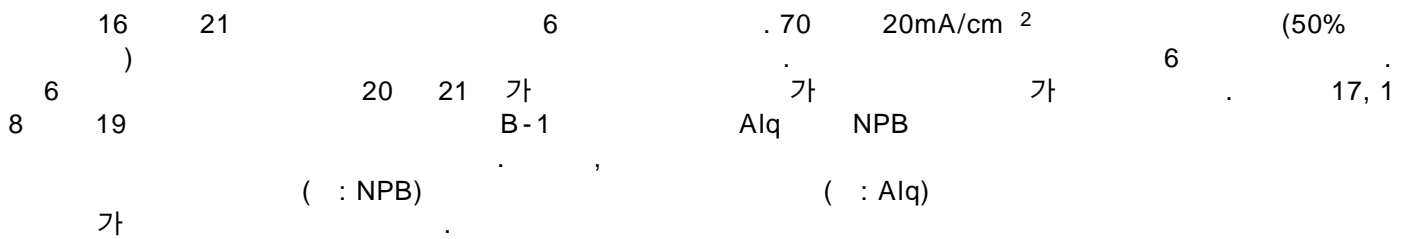


## [ 6 ]

청색 방출 층이 청색 도판트 및 다른 도판트인 NPB 및/또는 Alq로 도핑된 백색

## OLED의 EL 특성

장치 번호	정공 수송 부속층 1 (도핑되지 않은 NPB 층 두께)	황색 도판트로 도핑된 정공 수송 부속층 2	청색 방출 층 호스트 (TBADN)	청색 방출 층 도판트 1 (도판트 B-1)	청색 방출 층 도판트 2	청색 방출 층 도판트 3	전자 수송 층	발광 발생량 (cd/A)	CIEx	CIEy	구동 전압	작동 안정성 (70°C에서의 반감기) (시간)
16	130nm	20nm NPB+ 2% DBzR	20nm TBADN	2.5% 도판트 B-1	0%	0%	25nm Alq	5.5	0.33	0.38	7.5	400
17	130nm	20nm NPB+ 2% DBzR	20nm TBADN	2.5% 도판트 B-1	0%	5% Alq	25nm Alq	5.5	0.44	0.47	8.0	700
18	130nm	20nm NPB+ 2% DBzR	20nm TBADN	2.5% 도판트 B-1	0%	10% Alq	25nm Alq	5.9	0.46	0.48	7.7	750
19	130nm	20nm NPB+ 2% DBzR	20nm TBADN	2.5% 도판트 B-1	10% NPB	0%	25nm Alq	5.1	0.29	0.33	7.8	350
20	130nm	20nm NPB+ 2% DBzR	20nm TBADN	2.5% 도판트 B-1	NPB 10%	5% Alq	25nm Alq	6.6	0.38	0.47	7.8	950
21	130nm	20nm NPB+ 2% DBzR	20nm TBADN	2.5% 도판트 B-1	NPB 10%	10% Alq	25nm Alq	6.8	0.39	0.48	7.6	1100



가 , - , - / - OLED

(57)

1.  
a) ;

2.  
1 ,  
- 0.5  
10% 1 20%  
OLED

3. 1 , 가 OLED

$$\begin{aligned}
 1,1' - & \quad (4 - \quad - \rho - \quad \quad \quad ) \quad \quad \quad , \\
 1,1' - & \quad (4 - \quad - \rho - \quad \quad \quad ) - 4 - \quad \quad \quad , \\
 4,4' - & \quad ( \quad \quad \quad \quad ) \quad \quad \quad , \\
 & \quad (4 - \quad \quad \quad - 2 - \quad \quad \quad ) - \quad \quad \quad ,
 \end{aligned}$$

$$N, N, N - ( p - ) , \\ 4 - ( - p - ) - 4' - [ 4 - ( - p - ) - ] ,$$

N,N,N',N'-  $\text{-} p \text{-} \text{-} 4,4'$  - ,

N,N,N',N' - - 4,4' - ,

N,N,N',N'- 1 - 4,4'-

N,N,N',N'- 2 - 4,4'-

N-  
.

4.4'-[N-(1-*Phenyl*)-N-*Phenyl*]benzidine] (NPB).

4.4'-[N-(1-*Ph*)-N-(2-*Ph*)]-1,1'-TNB).

4 4'-[N-(1-)-N-] -1-p-

$$4.4'-(\text{N}-(2-\text{methyl-})-\text{N}-\text{methyl-})$$

4,4'-[N-(3-*aminopropyl*)-N-*benzyl*]dipiperazine

1,5-	$[N - (1 - ) - N - ]$	,
4,4'-	$[N - (9 - ) - N - ]$	,
4,4'-	$[N - (1 - ) - N - ] - \rho -$	,
4,4'-	$[N - (2 - ) - N - ]$	,
4,4'-	$[N - (8 - ) - N - ]$	,
4,4'-	$[N - (2 - ) - N - ]$	,
4,4'-	$[N - (2 - ) - N - ]$	,
4,4'-	$[N - (2 - ) - N - ]$	,
4,4'-	$[N - (1 - ) - N - ]$	,
2,6-	$( - \rho - )$	,
2,6-	$[ - (1 - )]$	,
2,6-	$[N - (1 - ) - N - (2 - )]$	,
$N, N, N', N'$ -	$(2 - ) - 4,4' - \rho -$	,
4,4'-	$\{N - - N - [4 - (1 - ) - ]\}$	,
4,4'-	$[N - - N - (2 - )]$	,
2,6-	$[N, N - (2 - )]$	,
1,5-	$[N - (1 - ) - N - ]$	,
4,4',4' -	$[(3 - )]$	(MTDATA),
4,4'-	$[N - (3 - ) - N - ]$	(TPD).

4.

1

## 가 OLED

BAIq,

$$[ \quad , \quad (8 - \quad ) \quad (III) ],$$

$$[ \quad , \quad (8 - \quad ) \quad (11) ],$$

[  $\{f\}$  - 8 - ] (II),

$$(2- \quad -8- \quad ) \quad (III) - \mu - \quad - (2- \quad -8- \quad ) \quad (III),$$

[ , (8- ) ].

$$(5-\dots)[\dots, (5-\dots-8-\dots)] \dots (|||)],$$

[ , (8- ) (I)],  
 [ , (8- ) (III)],  
 [ , (8- ) (IV)].

5.

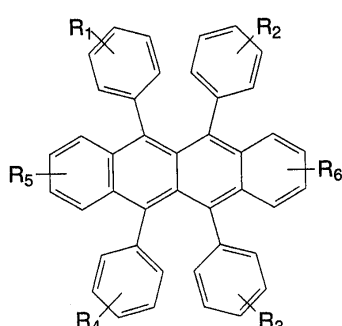
1 ,  
 - NPB , - Alq OLED .

6.

1 ,  
 - NPB , - BAlq OLED .

7.

1 ,  
 - 6 OLED :  
 6



R<sub>1</sub>, R<sub>2</sub>, R<sub>3</sub>, R<sub>4</sub>, R<sub>5</sub>, R<sub>6</sub>  
 :

1 : , 1 24 ;

2 : 5 20 ;

3 : , , , , , 4  
 24 ;

4 : , , , , , , 5 24  
 ;

5 : 1 24 , ;

6 : , , , .

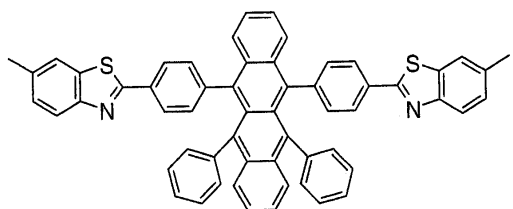
8.

6 ,

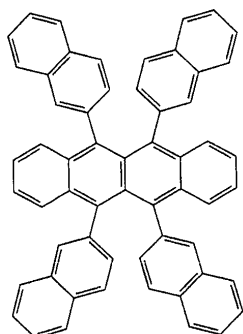
( )



(DBzR)



(NR)



9.

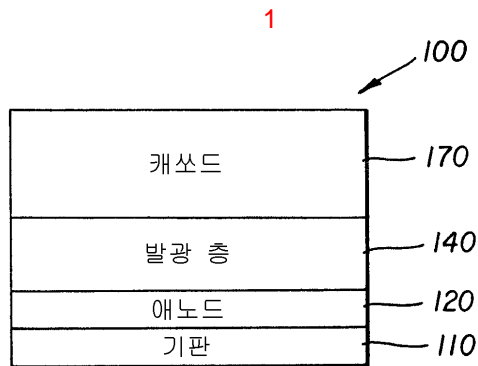
7

- 5,6,11,12- ( ) 6,11- -5,12- (4- (6- -  
- ) ) (DBzR); 5,6,11,12- (2- ) (NR) 가  
0% 30% OLED .

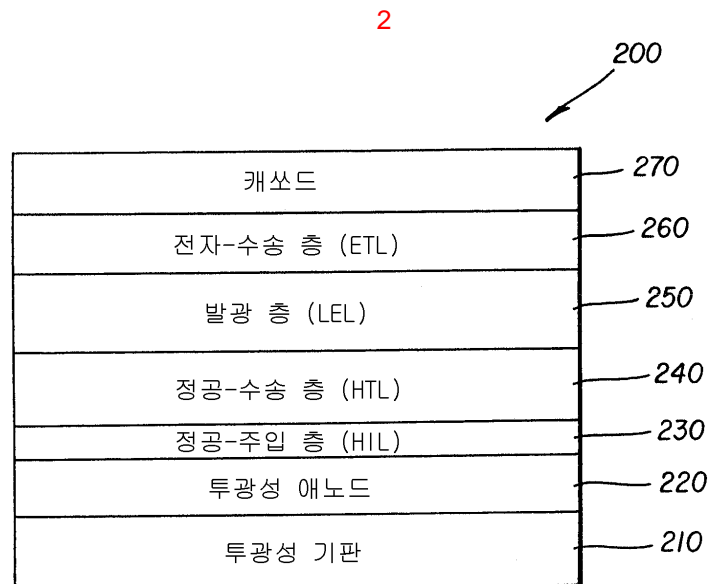
10.

7

- 5,6,11,12- ( ); 6,11- -5,12- (4- (6- -  
- ) ) (DBzR); 5,6,11,12- (2- ) (NR) 가  
0% 15% OLED .

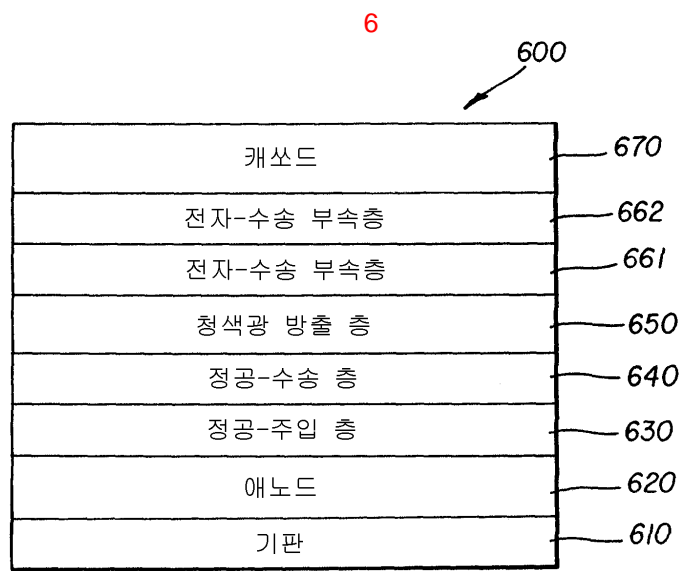
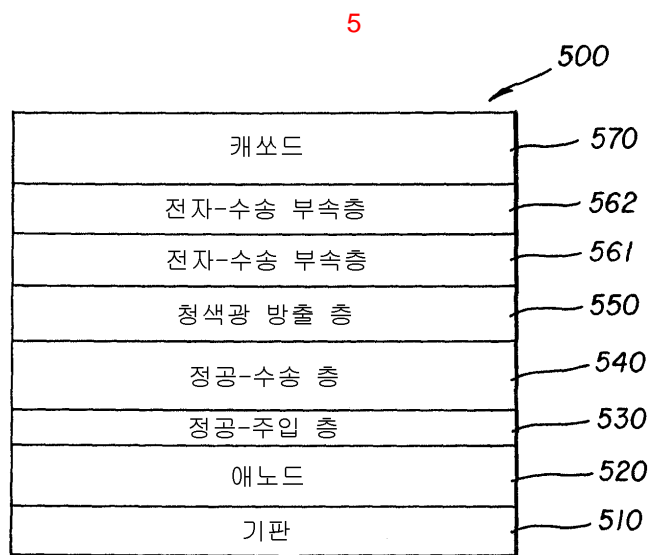
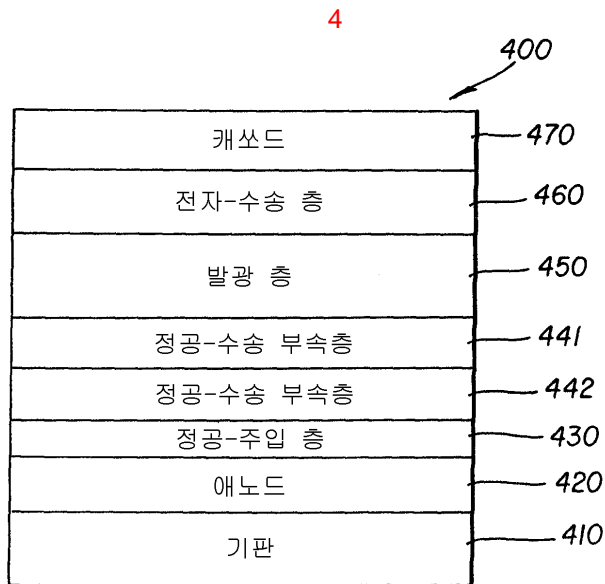


(종래기술)

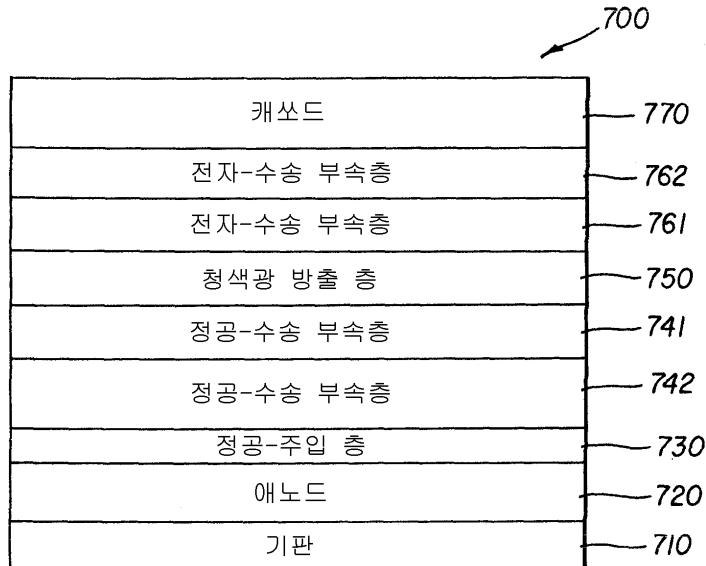


(종래기술)

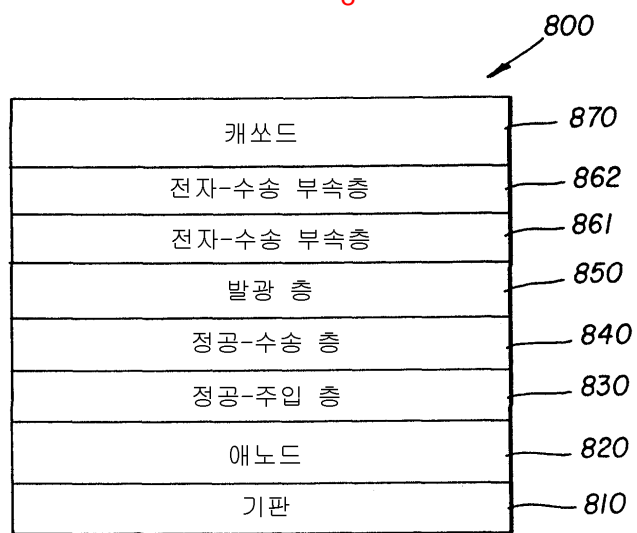




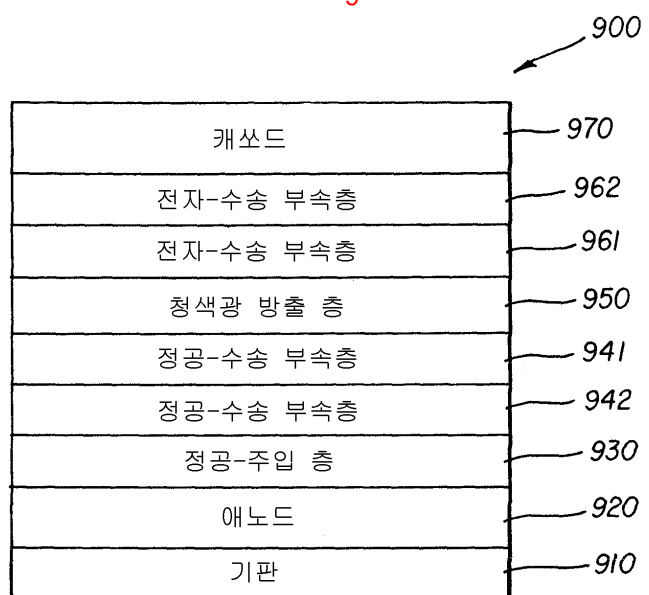
7



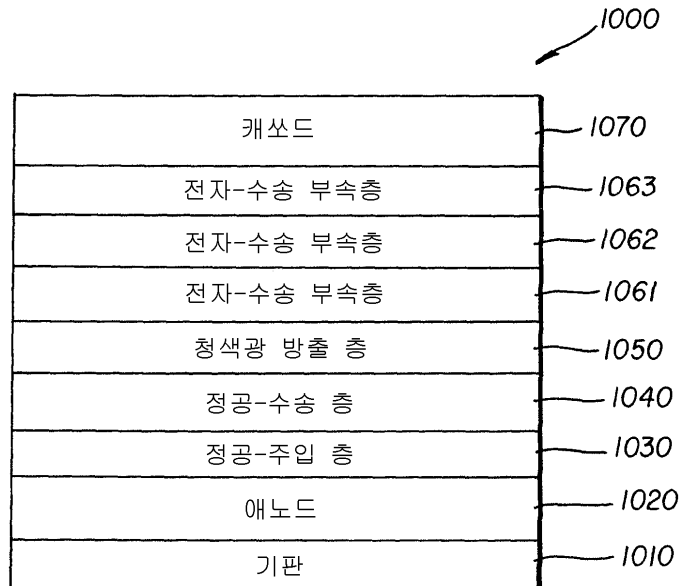
8



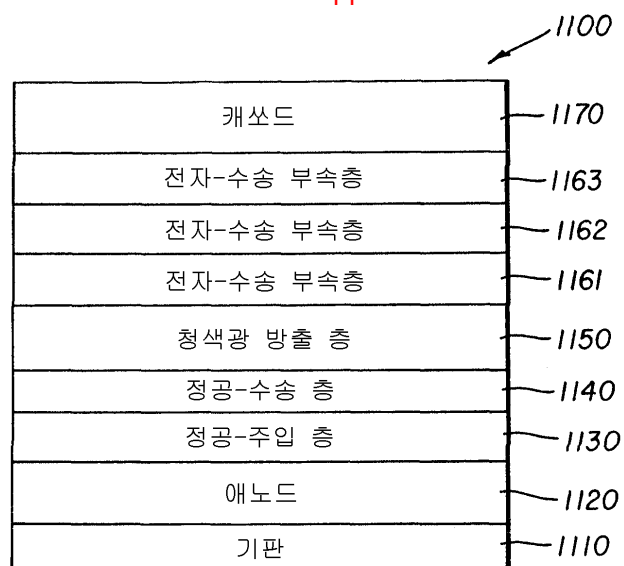
9

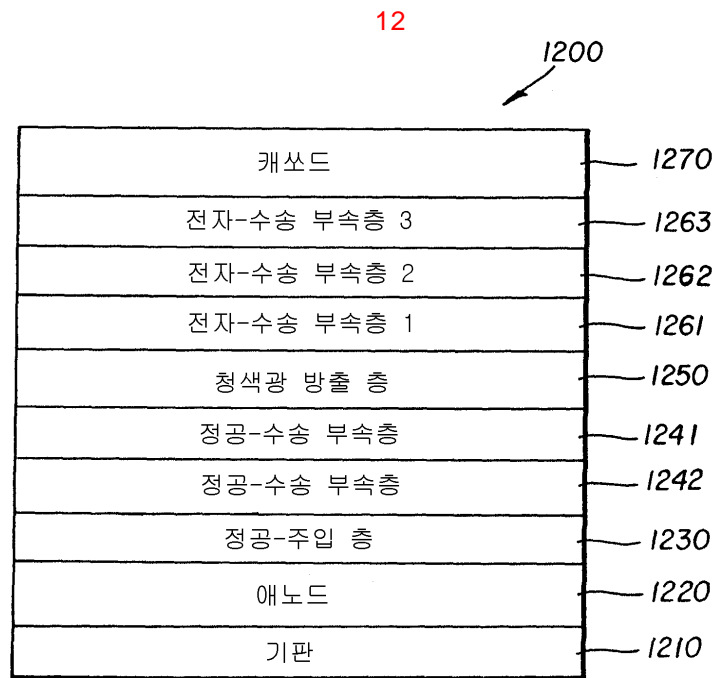


10



11





专利名称(译)	一种白色发光有机材料，具有掺杂有电子传输材料或空穴传输材料或两者的蓝色发光层		
公开(公告)号	<a href="#">KR1020050001426A</a>	公开(公告)日	2005-01-06
申请号	KR1020040047832	申请日	2004-06-24
[标]申请(专利权)人(译)	伊斯曼柯达公司		
申请(专利权)人(译)	柯达公司针		
当前申请(专利权)人(译)	柯达公司针		
[标]发明人	HATWAR TUKARAMK 해트위투카람케이 RICKS MICHELEL 릭스미첼엘 WINTERS DUSTIN 윈터스더스틴 SPINDLER JEFFREY P 스피들러제프리피		
发明人	해트위투카람케이 릭스미첼엘 윈터스더스틴 스피들러제프리피		
IPC分类号	H05B33/22 H01L51/50 H01L51/30 H05B33/14 H01L33/00 C09K11/06 H05B33/00 H01L27/00 H01L51/00		
CPC分类号	C09K2211/1011 C09K2211/1029 H01L51/0059 Y10S428/917 H01L51/008 C09K2211/107 H01L51/0052 H01L51/5064 C09K11/06 H01L51/5036 H01L51/0062 H01L51/0081 Y02B20/181 H01L51/5048 H01L51/504		
代理人(译)	KIM, CHANG SE 张居正, KU SEONG		
优先权	10/606446 2003-06-26 US		
外部链接	<a href="#">Espacenet</a>		

## 摘要(译)

本发明涉及用于产生基本白光的有机发光二极管(OLED)装置，该装置包括蓝光发射层(它被掺杂到电子转移材料中，选择这样可以提高效率和操作稳定性。空穴传输材料或两者具有阳极：空穴传输层：设置在阳极和主体上，主体设置在空穴传输层上并掺杂到蓝光释放化合物中。该装置包括电子传输层：设置在电子传输层上的阴极，蓝色发光层。并且空穴传输层或电子传输层或空穴传输层和电子传输层两者(它适用于与其整体接触的层的部分是蓝色发光层或层)被选择性掺杂此时，向该化合物释放光谱的黄色区域的光。

